

На рисунке, б также приведено изменение концентрации ТЦ при низкотемпературной обработке (для сравнения штриховой кривой показано изменение его концентрации в контрольных образцах при 150 °C). После каждого изотермического отжига диоды охлаждались в холодной воде. Видно, что в образцах Si<Ni> ТЦ становится более термоустойчивым. Исчезновение аномалии в кинетике отжига ТЦ в Si<Ni> обусловлено подавлением никелем другого ТЦ с уровнем  $E_c$ —0.33 эВ, ответственного за эти аномалии [<sup>2, 3</sup>].

Исследование профиля концентрации ТЦ показывает, что он в образцах Si<Ni> при низкотемпературной обработке не претерпевает изменений до  $T \approx 150$  °C, тогда как в контрольных образцах наблюдается его сильное изменение в температурном интервале 20–150 °C.

Полученные результаты невозможно объяснить взаимодействием только электрически активных атомов Ni с ТЦ, так как их всегда меньше, чем ТЦ в контрольных образцах без Ni. Следовательно, влияние Ni на образование и отжиг ТЦ заключается во взаимодействии электрически не активных атомов Ni (преприципитатов) с компонентами ТЦ и технологическими примесями (O, C).

### Список литературы

- [1] Абдурахманов К. П., Умаров Т. А., Ходжаев М. Д. // Препринт ИЯФ АН УзССР. Ташкент, 1984. № Р-7-131.
- [2] Абдурахманов К. П., Умаров Т. А., Ходжаев М. Д. // ФТП. 1984. Т. 18. В. 3. С. 573.
- [3] Абдурахманов К. П., Умаров Т. А., Тешабаев А. Т., Ходжаев М. Д. // ФТП. 1985. Т. 19. В. 7. С. 1173–1175.
- [4] Берман Л. С. Емкостные методы исследования полупроводников. Л., 1972. 104 с.
- [5] Абдурахманов К. П., Ходжаев М. Д., Тешабаев А. Т. // Тез. докл. VI Всес. конф. по физико-химическим основам легирования полупроводниковых материалов. М., 1988. С. 14–15.

Научно-исследовательский  
институт прикладной физики  
ТГУ им. В. И. Ленина  
Ташкент

Получено 1.11.1988  
Принято к печати 7.03.1989

ФТП, том 23, вып. 7, 1989

## ИЗМЕРЕНИЕ КОНЦЕНТРАЦИИ ПЛАЗМЫ ПРИ ПОПЕРЕЧНОМ ПРОБОЕ В *n*-InSb

Ботте В. А., Владимиров В. В., Горшков В. Н.,  
Липтуга А. И., Малютенко В. К.

Явление поперечного межзонного пробоя (ПП), возникающего в достаточно сильных скрещенных электрическом и магнитном полях под действием холловского поля, было открыто Гликсманом и др. [<sup>1</sup>]. Согласно расчетам [<sup>2</sup>], вследствие магнитоконцентрационного эффекта (МКЭ) и ПП концентрация плазмы в слое сильного сжатия (вблизи грани с низкой скоростью поверхностной рекомбинации  $s_{min}$ ) может достигать больших значений, на 2–3 порядка превышающих концентрацию доноров.

В настоящей работе проведено измерение концентрации плазмы в слое сильного сжатия в монокристаллических образцах *n*-InSb ( $N_d = N_a = 10^{14}$  см<sup>-3</sup>) по отражению излучения маломощного CO<sub>2</sub>-лазера ( $\lambda = 10.6$  мкм). Образцы вырезались в виде пластин  $0.25 \times 0.15$  см толщиной  $\sim 50$  мкм с различной обработкой противоположных широких граней<sup>1</sup> ( $s_{min} \approx 10^3$  см/с — химическое травление,

<sup>1</sup> Такая обработка способствует более заметному пространственному перераспределению плазмы при отжигании на грань с малой скоростью поверхностной рекомбинации.

$s_{\max} \approx 10^6$  см/с — механическая полировка) и омическими контактами на торцах. Электрическое поле  $E$  подавалось на образец в виде прямоугольного импульса длительностью  $0.5 \div 1$  мкс, магнитное поле  $H$  было постоянным. Отраженное излучение фиксировалось CdHgTe-фотоприемником.

На рис. 1 представлены характерные зависимости тока от магнитного поля. Рост тока при  $1 < H < 2$  кЭ обусловлен доминирующей ролью ПП, дальнейшее снижение тока вызвано замагничиванием плазмы и, как следствие, ослаблением темпа поперечного пробоя [3]. На

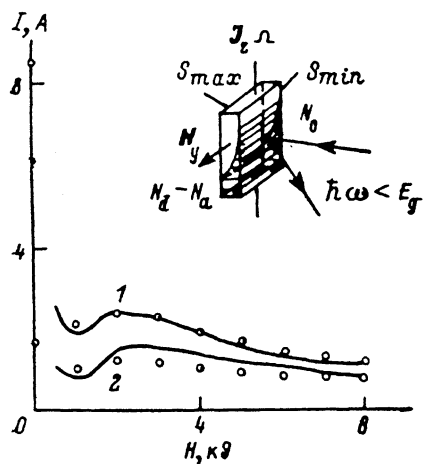


Рис. 1. Гауссамперные характеристики  $n$ -InSb при 120 К.

Точки — эксперимент, сплошные линии — расчет.  $E$ , В/см: 1 — 400, 2 — 300. На вставке — ориентация образца по отношению к внешним воздействиям.

ственного распределения плазмы при ПП описана в [2, 3]. Как видно из рис. 2, экспериментальные зависимости  $(\Delta R/R_0)(H, E)$  качественно отличны от поведения  $N_0(H, E)$ : зависимость  $(\Delta R/R_0)(H)$  немонотонна (рис. 2, а), характер чередования кривых  $(\Delta R/R_0)(E)$  и  $N_0(E)$  при изменении магнитного поля различен (рис. 2, б). Это обстоятельство связано с тем, что в условиях наших экспериментов толщина плазменного слоя  $\delta$  значительно меньше длины волн зондирующего

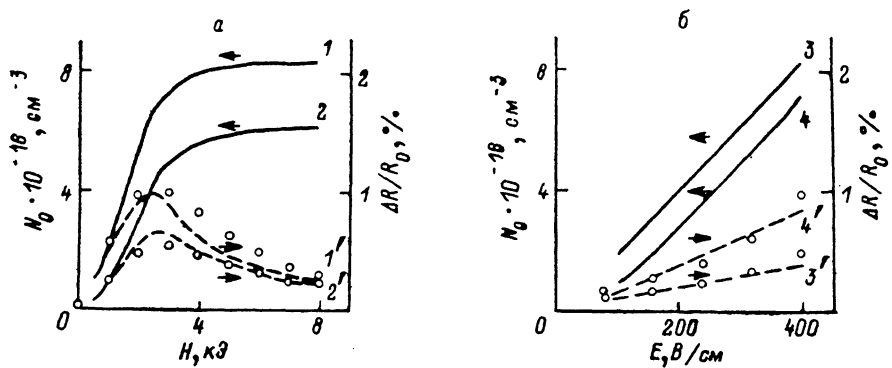


Рис. 2. Полевые зависимости поверхностной концентрации носителей заряда (1—4) и изменения коэффициента отражения (1'—4') кристаллов  $n$ -InSb от магнитного (а) и электрического (б) полей при 120 К.

Линии — расчет, точки — эксперимент.  $E$ , В/см: 1, 1' — 400; 2, 2' — 300.  $H$ , кЭ: 3, 3' — 6; 4, 4' — 3.

щего излучения в кристалле  $\lambda/n$  ( $n \approx 4$  — показатель преломления), и производить вычисления в приближении геометрической оптики ( $\Delta R \sim N_0$ , отраженный сигнал уменьшается при увеличении  $N_0$ , если частота зондирующего излучения много больше плазменной) при определении  $N_0$  по измеренному  $\Delta R/R_0$  уже нельзя. В условиях  $\lambda/2\pi n > \delta$  необходимо учитывать отражение от всего фронта пространственного распределения плазмы, а не только от границы вакуум—образец. В этом случае коэффициент отражения увеличивается, что определяет необычный характер зависимостей  $(\Delta R/R_0)(H, E)$ .

При МКЭ пространственное распределение плазмы в узком слое сильного сжатия имеет вид  $N = N_0 \exp(-x/\delta)$  [4], где  $\delta = 2D_h/v_\perp$ ,  $v_\perp = v_d(E) b_h H/c -$

скорость поперечного амбиополярного дрейфа,  $v_d(E)$  — дрейфовая скорость электронов в электрическом поле,  $D_i \approx 10^2$  см<sup>2</sup>/с,  $b_h = 2 \cdot 10^6$  CGSE — коэффициент диффузии и подвижность дырок,  $x$  — координата, отсчитываемая от поверхности, на которую отжимается плазма при МКЭ.

С ростом  $H$  толщина плазменного слоя  $\delta$  уменьшается и отражение от него усиливается. При  $v_d \approx 5 \cdot 10^7$  см/с и  $H > 3$  кЭ  $\delta < 2 \cdot 10^{-5}$  см  $\ll \lambda/n$ . Поскольку плазменный слой определяет величину тока,  $N_0 \sim I(H) H$  (ввиду  $I \sim \int_0^\delta N dx \sim N_0 \delta$ ). Поэтому в области магнитных полей, соответствующих проявлению ПП (рис. 1; ток растет с магнитным полем),  $N_0$  суперлинейно увеличивается с магнитным полем, а затем насыщается по мере спада  $I(H)$  (рис. 2, а). Соответственно  $\Delta R/R_0$  растет с увеличением  $H$  (но менее резко, поскольку усиливается отражение, обусловленное большим градиентом показателя преломления в плазменном слое), а затем по мере насыщения  $N_0$  уменьшается.

При увеличении электрического поля толщина слоя  $\delta$  меняется незначительно ввиду насыщения дрейфовой скорости, а  $N_0$  возрастает (усиливается ПП). Отсюда и растущая зависимость  $(\Delta R/R_0)(E)$ . Изменение характера чередования расчетных  $N_0(E)$  и измеренных  $(\Delta R/R_0)(E)$  при разных магнитных полях вызвано более сильным отражением при увеличении магнитного поля.

При расчете  $\Delta R/R_0$  (рис. 2, а, б) использовались уравнения волновой оптики с учетом зависимости диэлектрической проницаемости от концентрации плазмы  $N(x)$ . Схема расчета аналогична приведенной в работе [5]. Хорошее согласие вычисленных и измеренных значений  $(\Delta R/R_0)(H, E)$  позволяет считать, что расчетные величины  $N_0(H, E)$  при ПП соответствуют реальным.

#### Список литературы

- [1] Glicksman M., Hicinbothem W. A. // Phys. Rev. 1963. V. 129. N. 4. P. 1572—1577.  
Toda M., Glicksman M. // Phys. Rev. 1965. V. 140. N. 4A. P. 1317—1323.
- [2] Абдурахманов С. Н., Владимиров В. В., Горшков В. Н. // ФТП. 1985. Т. 19. В. 3. С. 378—383.
- [3] Владимиров В. В., Горшков В. Н., Коллюх А. Г., Малютенко В. К. // ЖЭТФ. 1982. Т. 82. В. 6. С. 2001—2006.
- [4] Смит Р. Полупроводники. М., 1982. 560 с.
- [5] Алмазов Л. А., Липтуга А. И., Малютенко В. К., Федоренко Л. Л. // ФТП. 1980. Т. 14. В. 10. С. 1940—1946.

Институт полупроводников  
АН УССР  
Киев

Получено 15.12.1988  
Принято к печати 7.03.1989

ФТП, том 23, вып. 7, 1989

#### ЭПР И МАГНИТНАЯ ВОСПРИИМЧИВОСТЬ ДЕФЕКТНЫХ КРИСТАЛЛОВ $A_2^{III}B_3^{VI}$ , ЛЕГИРОВАННЫХ МАРГАНЦЕМ

Аскеров И. М., Мастеров В. Ф., Романов В. В., Штельмах К. Ф.

В работе [1] сообщалось, что в соединениях  $Ga_2S_3$  марганец находится в состоянии  $Mn^{2+}(3d^5)$ , при этом спектр ЭПР такого центра может представлять собой либо одиночную широкую линию с  $g=1.995$  в образцах без предварительной термообработки, либо разрешенную сверхтонкую структуру с  $g=2.003$  и  $A=81$  Э в образцах после отжига при  $T=1250$  К,  $t_{отж}=450$  ч.

В настоящем сообщении приводятся результаты исследования ЭПР и магнитной восприимчивости образцов  $Ga_2S_3$  и  $Ga_2Se_3$ , легированных марганцем. Образцы получены стандартным методом [2], причем марганец растворялся